

환류 다이오드의 전압스트레스가 강화된 ZCS-PWM Converter

김 명 오*, 김 영 석*, 이 건 행*
*인하대학교 전기공학과

ZCS-PWM Converter dropped Voltage Stress of Free-Wheeling Diode

Myung-O Kim*, Young-Seok Kim*, Gun-Haeng Lee*
*Dept. of Electrical Engineering of Inha University

Abstract ~ This paper presents a boost circuit topology driving in high - frequency. It solves the problem which arised from hard-switching in high-frequency using a resonant circuit and operating under the principle of ZCS turn-on and ZCZVS turn-off commutation schemes. In the existing circuit, it has the high voltage stress in free-wheeling diode. But in the proposed circuit, it has voltage stress which is lower than voltage stress of existing circuit with modifying a location of free-wheeling diode. In this paper, it explained the circuit operation of each mode and the waveform of each mode. Also the experiment result compares the existing voltage stress of free-wheeling diode with the proposed voltage stress of that.

1. 서 론

최근들어, PWM DC-DC 컨버터는 고전력 출력과 제어의 용이성 때문에 넓은 범위에서 다양하게 사용되고 있다. 스위칭 주파수의 증가는 더욱더 작은 크기의 인덕터와 캐패시터를 사용하게 한다. 그러나, 스위칭 주파수의 증가는 스위칭 손실이나 EMI 노이즈를 발생시킨다.[1,2] 고주파시 hard-switching으로 구동하게 되면 스위칭 손실은 더욱더 증가하게 되고, 안정도가 악화된다.[3] 반면에 soft-switching PWM 기술은 턴온, 턴오프 시 영전류 또는 영전압 스위칭 구동을 하기 때문에 이러한 문제를 충분히 해결한다. 스위칭 문제와 관련하여 SMPS의 기능을 향상시키기 위해 다양한 방식의 soft-switching 회로가 제안되었다.[4] 이러한 대부분의 회로는 주 스위칭 소자의 공진모드를 만들기 위해서 보조 스위칭 소자를 사용하였다.

본 논문에서는 제안된 회로가 기존의 회로가 가지는 환류 다이오드의 높은 전압스트레스를 감소시켰다. 동작모드는 시뮬레이션을 통하여 검증하였고, 최대출력 150W 까지 회로를 제작하여, 100kHz에서 실험하여 검증하였다.

2. 본 론

2.1 제안된 ZCS-PWM Boost 컨버터

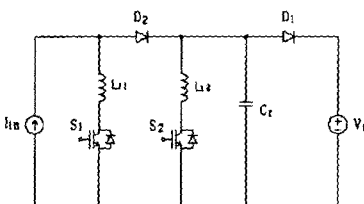


그림 1.기존의 ZCS-PWM Boost 컨버터

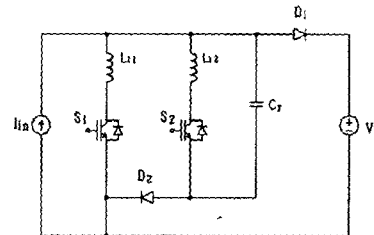
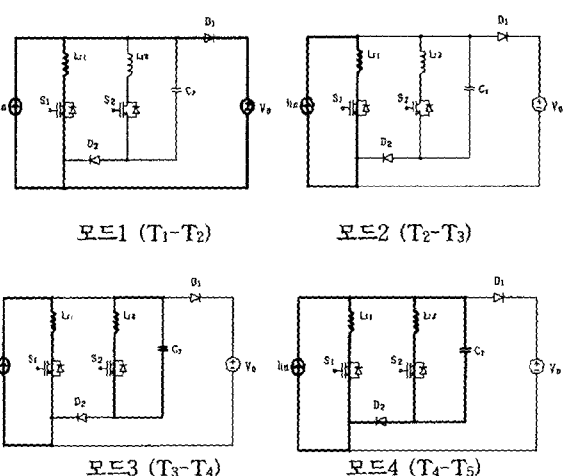


그림 2.제안된 ZCS-PWM Boost 컨버터

그림 2의 제안된 ZCS-PWM Boost 컨버터회로는 그림 1의 기존의 ZCS-PWM Boost 컨버터회로[5]에 비해 회로의 부품수는 같으나, 환류다이오드(D_2)의 위치를 수정함으로써 전압스트레스가 기존의 ZCS-PWM Boost 컨버터 회로의 환류다이오드 전압스트레스에 비해서 멀어지게 된다. 다이오드의 전압스트레스가 멀어지게 되면 다이오드의 내압이 작은 것을 사용할 수 있으므로, 대량의 SMPS를 제작할 때는 경제적으로 큰 이익을 볼 수 있다.

2.2 동작원리 및 회로해석

제안된 ZCS-PWM Boost 컨버터회로의 전체적인 동작은 그림 3과 같이 9개의 동작 모드로 나눌 수 있고, 각 모드별 주요 과정은 그림 4와 같다. 모드별 정상상태 해석을 위해서 모든 반도체 소자들은 이상적이며, 출력전류(I_{op})는 일정하고, 공진캐패시터 C_r 의 전압은 출력전압 V_o 와 동일하다고 가정한다.



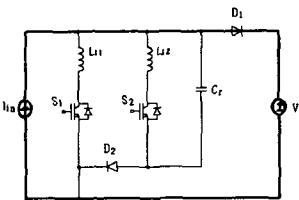
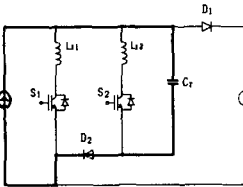
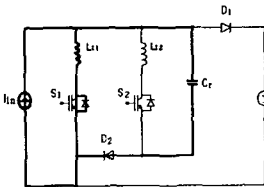
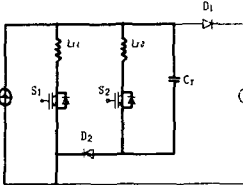
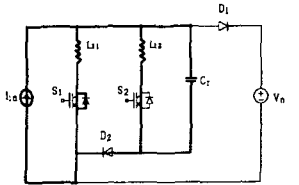


그림 3. 제안된 ZCS-PWM Boost 컨버터의 동작모드

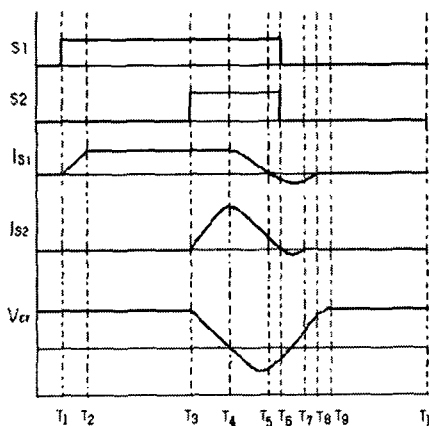


그림 4. 제안된 ZCS-PWM Boost 컨버터의 각 부 파형

MODE 1(T₁-T₂) : 전 모드에서 C_r 은 v_o 만큼 충전되어 있는 상태이고, I_{in} 은 D_1 을 통하여 흐르고 있다. $T=T_1$ 에서 주 스위치(S₁)가 ZC 상태로 on되고 i_{Lr1} 은 0에서 I_{in} 이 될 때까지 서서히 증가한다.

MODE 2(T₂-T₃) : $T=T_2$ 에서 i_{Lr1} 이 I_{in} 까지 상승하고 D_1 은 off 가 되면서 I_{in} 은 주스위치(S₁)을 통하여 흐른다.

MODE 3(T₃-T₄) : $T=T_3$ 에서 보조스위치(S₂)가 L_{r2} 의 영향으로 ZC상태로 on되고, L_{r2} 와 C_r 사이에 공진이 일어난다. $T=T_4$ 일때 $v_{cr}=0$ 이 된다.

MODE 4(T₄-T₅) : $T=T_4$ 에서 $v_{cr}=0$ 이 되면 D_2 가 on 된다. i_{Lr1} 은 서서히 감소하여 $T=T_5$ 일때 i_{Lr1} 은 0이 된다.

MODE 5(T₅-T₆) : $T=T_5$ 일때 주스위치(S₁)의 Diode를 통하여 흐르기 시작한다. $T=T_6$ 일때 i_{Lr2} 는 0이 된다.

MODE 6(T₆-T₇) : $T=T_6$ 일때 보조스위치(S₂)의 Diode를 통하여 흐르기 시작한다. 이 구간에서 주스위치(S₁), 보조스위치(S₂)를 off 한다. $T=T_6$ 에서 i_{Lr2} 는 0이 된다.

MODE 7(T₇-T₈): $T=T_8$ 에서 주스위치(S₁)의 Diode는 off 되고 공진이 끝이 난다.

MODE 8(T₈-T₉) : C_r 은 서서히 충전된다. $T=T_9$ 일때 v_{cr} 은 V_o 값을 가지게 되고 D_1 은 on이 된다.

MODE 9(T₉-T₁) : $T=T_9$ 일때 D_1 은 on이 되면서 I_{in} 은 D_1 을 통하여 V_o 로 흐른다. $T=T_1$ 일때 주스위치(S₁)이 on 된다.

표 1. 스위칭소자의 스위칭 소자의 조건

| 반도체 소자 | 턴 온 상태 | 턴 오프 상태 |
|--------|--------|---------|
| 주 스위치 | ZCS | ZCZV |
| 보조 스위치 | ZCS | ZCZV |

2.3 실험결과

제안된 ZCS-PWM Boost 컨버터의 동작파형을 확인하기 위해서, 스위칭 주파수 100kHz로 구동되는 시스템을 제작하였다. 실험에 사용된 부품의 명칭과 수치는 표 2 와 같다.

표 2. 실험에 사용된 소자의 파라미터

| Component | Value/Model |
|---------------------------------------|-------------|
| 입력 전압(V_{in}) | 30[V] |
| 출력 전압(V_o) | 50[V] |
| 출력 전류(I_o) | 1~3[A] |
| 최대 출력(P_o) | 150W |
| 공진 캐패시터(C_r) | 25mF |
| 입력 인덕터(L) | 1.9mH |
| 공진 인덕터(L_{r1}) | 15μH |
| 공진 인덕터(L_{r2}) | 12μH |
| 주 스위칭 소자(S ₁) | IRF640 |
| 보조 스위칭 소자(S ₂) | IRF640 |
| 정류용 다이오드 | PBS 2506 |
| 다이오드(D ₁ ,D ₂) | D25-04C |

그림 5는 주스위칭 소자 전압, 전류 실험파형을 나타내었고, 그림 6은 보조스위칭 소자 전압, 전류 실험파형을 나타낸다. 그림 7은 기존의 ZCS-PWM Boost 컨버터의

환류다이오드 D₂가 가지는 전압 스트레스 파형을 나타낸 것이고, 그림 8은 제안된 ZCS-PWM Boost 컨버터의 환류다이오드 D₂의 전압스트레스 파형이다. 그림에서 볼 수 있듯이, 제안된 회로의 환류다이오드 D₂의 전압스트레스는 기존의 회로에서의 환류다이오드 D₂의 전압스트레스보다 낮은 전압스트레스를 가지게 된다는 것을 볼 수 있다.

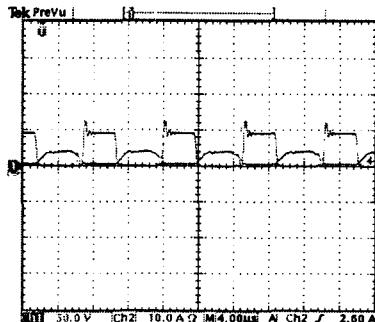


그림 5.제안된 ZCS-PWM Boost 컨버터회로의 주스위치 전압,전류 파형(4us/div)

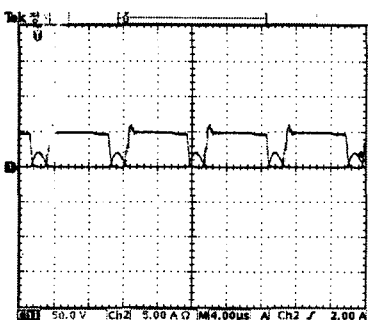


그림 6.제안된 ZCS-PWM Boost 컨버터회로의 보조스위치 전압,전류 파형(4us/div)

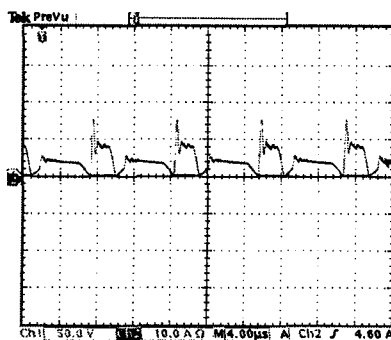


그림 7.기존의 ZCS-PWM Boost 컨버터회로의 환류다이오드 전압스트레스 파형(4us/div)

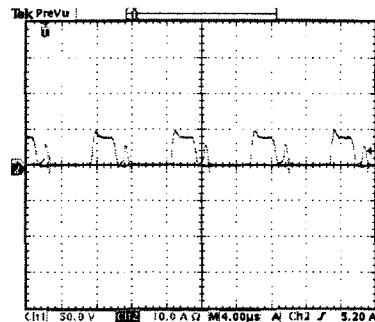


그림 8.제안된 ZCS-PWM Boost 컨버터회로의 환류다이오드 전압스트레스 파형(4us/div)

3. 결 론

본 논문에서는 기존의 ZCS-PWM Boost 컨버터와 부품 수는 갖게 설계하면서 환류다이오드의 전압스트레스를 강하시킨 개선된 ZCS-PWM Boost 컨버터를 제안하였다. 그러므로써, SMPS제작시 내압이 작은 다이오드를 사용해서 경제적 이익을 얻을 수 있다. 150W, 100kHz ZCS-PWM Boost 컨버터를 설계하여 실험 파형을 제시함으로써 제안된 회로의 유용성을 입증하였다.

[참 고 문 헌]

- [1] A.Pietkiewicz and D.A.Tollik, "Snubber circuit and mosfet paralleling considerations for high power boost-based power-factor correctors", in proceeding of INTELEC'95,pp 41-45, 1995
- [2] Ching-Jung Tseng,etc, "A Passive lossless Snubber cell for Nonisolated PWM DC/DC Converters", IEEE Trans. on IE, Vol.45, No4, pp 593-601, Aug. 1998
- [3] Xuezhi WU, Xinmin JIN, Lipei HUANG and Guang FENG, "A Lossless Snubber for DC-DC Converter and Its Application in PFC", Proceedings of IPEMC 2000, Vol.3, pp 1144-1149, 2000
- [4] Masa aki Shimada and Mantaro Nakamura, "Single - Switch Auxiliary Resonant Converters", Proceeding of PCC nagaoka,Japan, pp 811-814, 1997
- [5] Fabio T.Wakabayashi, Marcelo J. Bonato, and Carlos A. Canesin, "Novel High-Power-Factor ZCS-PWM Preregulators", IEEE Trans. Vol.48, NO.2 , pp322-333, 2001